



Title	三菱重工製 6MeV 医用直線加速器 (LAS-M2型 3号機) (1)X線に就いて
Author(s)	浅川, 洋; 伊田, 八洲雄
Citation	日本医学放射線学会雑誌. 1968, 27(11), p. 1411-1417
Version Type	VoR
URL	https://hdl.handle.net/11094/14996
rights	
Note	

Osaka University Knowledge Archive : OUKA

<https://ir.library.osaka-u.ac.jp/>

Osaka University

特別掲載

三菱重工製 6 MeV 医用直線加速器
(LAS-M 2型 3号機)

(1) X線に就いて

宮城県立成人病センター 放射線部
浅川洋, 伊田八洲雄

(昭和42年10月17日受付)

"Mitsubishi" Medical Linear Accelerator
1st Report: 6 Mev X-rays

By

Hiroshi Asakawa, Yasuo Ida

(From the Radiological Department of Miyagi Adult Disease Centre, Natori, Miyagi.)

"Mitsubishi" medical linear accelerator was installed in the Miyagi Adult Disease Centre in 1967. In this paper we reported the results of the performance tests and the measurements of the physical characteristics of 6 Mev X-rays that were summarized as follows.

- 1) The maximum output of equalized X-rays was about 400 R/min at a point of 100 cm from the target.
- 2) The generated energy of X-ray beams was about 6 Mev and the effective energy was 1, 9 Mev.
- 3) Dose rate of X-rays was kept stably with the fluctuation of 1.5% in fixation radiotherapy and 3% in rotation.
- 4) X-ray beams was the most homogeneous at the depth of 10 cm in water. Inhomogeneity in the dose distribution was less than 2.4% in 20 × 20 cm of radiation field.
- 5) Surface dose, depth dose and tissue air ratio of 6 Mev X-rays were measured in several fields. The data of each measurements showed the advantages of supervoltage radiation.
- 6) Isodose charts and depth dose curves were made of the measured values in various fields.
- 7) Dose distribution of 6 Mev X-rays was discussed in some clinical cases.

はじめに

近年、放射線治療装置の進歩は目覚しく、本邦でも超高圧治療装置特に⁶⁰Co遠隔照射装置が好んで用いられている¹⁾。⁶⁰Coγ線は従来の深部X線と比較して皮膚線量、深部線量などの点で勝れているが、線源の大きさ、出力線量など欠点がない訳ではない。最近、⁶⁰Co遠隔照射装置より更に出力線量が大で、エネルギーも高く而も焦点

の小さい直線加速器が国産化されるに至った。

宮城県立成人病センターにも、本年5月三菱重工製直線加速器(LAS-M 2型、3号機)が設置され、7月下旬より治療を開始している。

本器の構造は既に佐野²⁾、高橋等³⁾の詳細な報告にもあるように、本体、制御卓、電源箱、治療台及び位置決めペンドントから成り、本体には電子銃、電子加速系、磁石系、X線ヘッド、真空系、冷

却系などが収納されている。原理的には他社の直線加速器とほど同様であるが、最も大きな違いは加速管を通過した電子ビームを一度90° 偏向し、電子集束レンズ系に入れて絞り、更に90° 偏向してターゲット上に集束させる 180° 偏向方式を採用している点である。本器からは 6 MeV (公称) のX線及び電子線を発生させることが可能であり、夫々臨床的に有用性は高い。

本報告では、当成人病センターで行つた性能試験及び線量測定の結果をもとに、本器より発生するX線の性能及び物理学的特性に就いて臨床上の観点から報告したい。

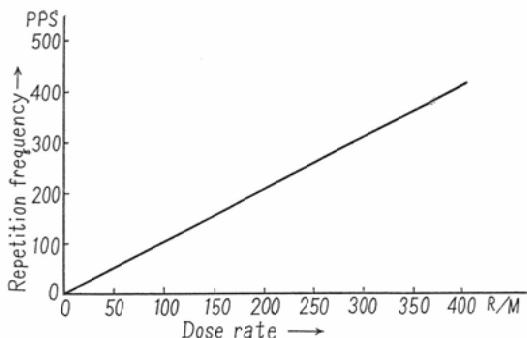
I. X線の性能

X線の出力性能として、最大出力線量、X線発生エネルギー、出力安定度及び線量分布の均一性(平坦度)を試験した。

(1) 出力線量

X線出力は種々の因子で変化するが、実際にはパルス繰返数の変化によつて変動する。本器ではパルス繰返数は20pps から 500pps まで連続可変可能で、パルス繰返数と線量率は比例的に変化する。X線焦点から 1 m (回転中心) の空中に Radocon プローブ (強化キャップ付き) を保持し、照射野30×30cmにおける線量率を測定すると図1

Fig. 1 Maximum output



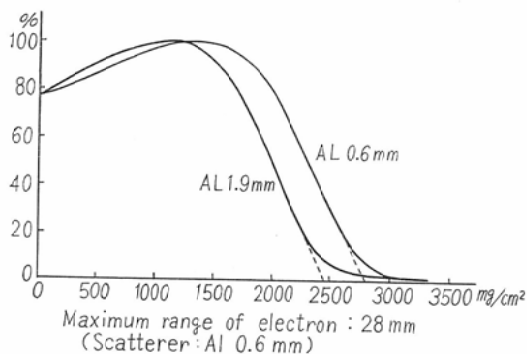
の如き結果を得た。即ち、線量率50 R/min から 400R/min まで50R 毎に夫々のパルス繰返数をシンクロスコープ上で測定した結果であるが、400 R/min の際のパルス繰返数は 416pps である。従つて、最大出力線量は 400R/min 以上である。

(2) 発生エネルギー及び実効エネルギー

本器のX線発生エネルギーは 6 MeV 固定である。発生エネルギーを直接測定することは困難で、臨床上正確な値を知る必要もないが、ここでは電子の水中飛程距離から測定した。即ち、平行平板型電離箱 (三菱重工製) 及び振動容量型電位計 TR-84B (タケダ理研製) を用い、照射野 8 × 8 cm, パルス繰返数20pps で、電離箱の表面に薄いポリエチレン板を順々に重ね、焦点から表面までを 1 m として測定した。結果は図2の如くで、スキャッタラー Al 0.6mm の最大飛程は 28mm, Al 1.9mm では 24.4mm である。前者では飛程距離から電子線エネルギーを計算すると 5.5MeV で、電子線取り出し窓、Alスキャッタラー及び空気層によるエネルギー損失は約 0.66 MeV と計算されるのでX線発生エネルギーは 6 MeV (公称値) に非常に近い値である。

次に、X線の実効エネルギーを鉄吸収状態から測定した。焦点から 60cm の点に鉄板を、120cm の点に Radocon プローブを置き、鉄板表面の照射野を 6 × 6 cm とし、鉄板を順々に厚くして鉄による吸収量を見ると図3に示す如く、鉄半価層は 20.5mm で、実効エネルギーは 1.9 MeV である。

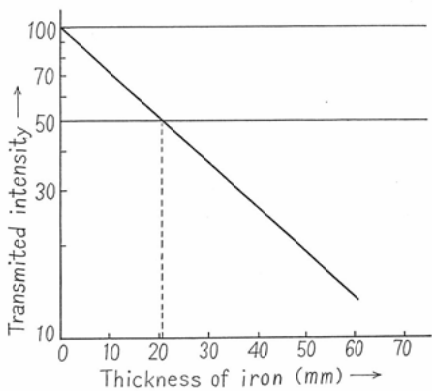
Fig. 2 Depth dose curve of electron



(3) 出力安定度

直線加速器では線量率が種々の原因で若干変動する。この線量率を一定に保つため、本器には自動周波数調整装置並びに自動線量補正機構が組み込まれている。これらの装置を充分に働かせた状態で線量率の変動度を固定及び回転照射の場合に調べた。

Fig. 3 Half value layer of 6MeV X-rays



先ず、固定照射では焦点から1mの空中に Radocon プローブを置き、Radocon の指示値が夫々 20R/min, 50R/min, 100R/min, 及び 200R/min になるよう条件を設定し、各線量率で 0° 及び 180° の 2 方向から 200 R/min では 20 分間、それ以外では 5 分間予め設定された条件の確実的に線量率の変動を記録した。回転照射では、0.6 rpm 及び 1.0 rpm で時計方向及び反時計方向回転の場合の 1 回転における変動を記録した。記録結果より最高及び最少値を読み変動量及び変動率を算出した。

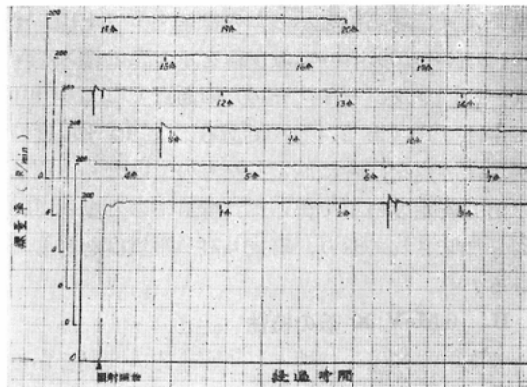
その結果は表 1 に示す如く、固定照射では線量

Tab 1. Stability of output

Direction	Dose rate	Maxi-mum	Mini-mum	Variability (%)
180°	20 R/min	20.5 R/min	19.5 R/min	1R(± 2.5)
	50 //	51 //	49 //	2//(± 2.0)
	100 //	101 //	98 //	3//(± 1.5)
	200 //	202 //	197 //	5//(± 1.3)
0°	20 //	20.5 //	19.5 //	1//(± 2.5)
	50 //	51 //	49 //	2//(± 2.0)
	100 //	101 //	98 //	3//(± 1.5)
	200 //	202 //	196 //	6//(± 1.5)
Rotation 0.6 rpm	200 //	206 //	195 //	11//(± 2.8)
Rotation 1.0 rpm	200 //	206 //	196 //	12//(± 3.0)

率の大なる程安定度が高く、0° 及び 180° 方向の安定度には余り差が認められない。日常診療の 200R/min では、180° 方向からの変動量は ± 1.3

Fig. 4 Stability of X-ray output



% 以内で、0° 方向からのものは ± 1.5% 以内に入り極めて安定している。回転照射ではマイクロ波発振管も同様に回転するので、固定照射と比較して変動量は大となるがそれでも 3% 以内に留る。図 4 に 180° 方向からの固定照射、線量率 200 R/min の 20 分間連続試験の記録結果を示した

Tab 2. Flatness at the depth of 10cm in water

X Y	+10	0	-10
+10	108.0 R/m (+ 3%)	104.5 R/m (0%)	104.5 R/m (0%)
0	104.5 // (0%)	104.5 // (0%)	103.0 // (- 1%)
-10	107.0 // (+ 2%)	106.5 // (+ 1%)	103.0 // (- 1%)

Dose rate in air: 150 R/min.

(4) 平坦度

高エネルギー電子線をターゲットに当てて発生する X 線の線量分布は均一ではなく、厚さ不均等な金属(イコライザ)で線量分布を均一にしている。本器では水深 10cm の面で可及的に均一にすることを目的とした鉄製イコライザを使用している。測定条件を、F S D 1 m, 照射野 30 × 30 cm, 線量率 150R/min として、深さ 10cm の面で電子ビームの流れと同方向に中心線上及び中心から夫々 ± 10cm 離れた線上を Radocon プローブで走査し、中心点から X 及び Y 夫々 10cm の点の線量率を記録し、中心点の線量率との差を求めて、どの程度の平坦度が得られるかを調べた。

結果は表 2 に示す如く、中心点の線量は 104.5

R/min (深部率69%)で中心線上が最も平坦度が良い。又、最高値を示したのはX:Y (+10, +10)の点で 108R/min, 最少値を示したのはX:Y (-10, 0 及び -10, -10)の両点で 103 R/min で差は 5 R ($\pm 2.4\%$) である。この平坦度の測定は各点を同時に測定したものではなく、前述の出力安定度の項で得られた線量率の変動率 1.3 %も加味されており、可成り高い平坦度を有している。

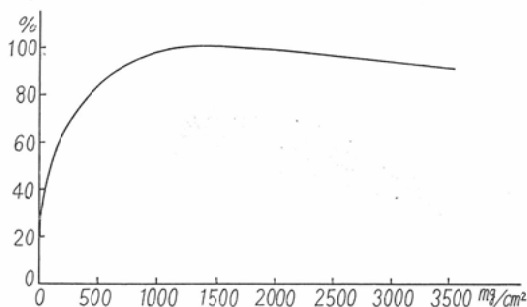
II. 6 MeV X 線の特性

6 MeV X線の特性として臨床的に問題となるのは、表面線量、深部線量、骨吸収線量及び病巣全身容積線量比などであるが、ここでは表面線量及び深部線量の測定を行い、この結果から得られた臨床上の 2, 3 の利点並びに Wedge filter の線量分布に就いて述べる。

(1) 表面線量

超高圧X線では表面線量が著しく減少し、皮膚障害が軽減されることが一つの利点である。先ず Bild up 特性を測定した。即ち、照射野 10×10 cm, 平行平板型電離箱の表面にポリスチレン板を順次重ね、その表面までを 1 m として測定したが、結果は図 5 に示す如く、電子平衡に達する点は 15.3 mm で表面線量の最大線量に対する割合は 22.0% である。

Fig. 5 Bild up curve

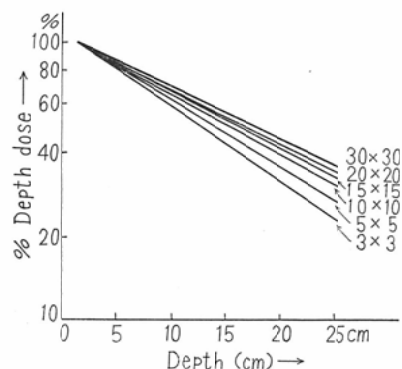


次いで、表面線量が照射野の大きさ及び焦点皮膚間距離により如何に変化するかを測定した結果、表 3 の如く照射野が大なる程、又焦点皮膚間距離が小なる程表面線量は大であり、日常の治療では表面線量は 15~30% の間にある。

Tab. 3. Surface dose

Field Size F S D	5 × 5 cm	10 × 10 cm
60cm	26.8%	42.0%
80cm	17.6%	25.6%
100cm	16.6%	22.0%

Fig. 6 Depth dose curve

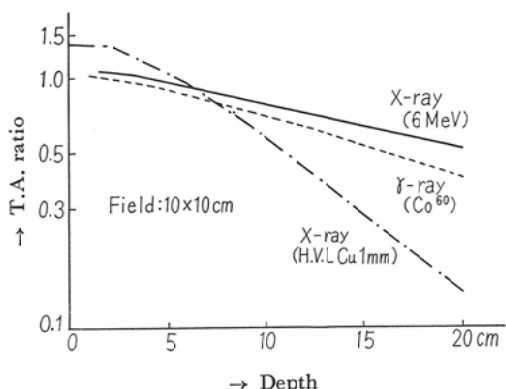


(2) 深部線量

超高圧X線では表面線量が少いのに反して深部線量は大となる。F S D 1 m の深部線量曲線を示すと図 6 の如くである。いずれの照射野でも電子平衡に達する深さ（水深約 15 mm）から指指数的で減少している。各照射野における組織半価層は、 3×3 cm で 12.6 cm, 5×5 cm で 13.8 cm, 10×10 cm で 15.1 cm, 15×15 cm で 16.0 cm, 20×20 cm で 16.6 cm, 30×30 cm で 17.4 cm である。

又、運動照射では勿論のこと、固定多門照射でも F T D (焦点腫瘍間距離) を一定にして照射した方が便利なこともある。このためには Tissue air ratio を知る必要がある。Tissue air ratio は計算することも容易であるが、次の如き条件で実際に測定した。水槽内で電子平衡点に達する点にプローブを固定し、焦点プローブ間を 1 m とし、水槽の表面に順次アクリル板を重ねて、各照射野毎に腫瘍線量を測定し、焦点から 1 m の空中における最大線量との比を求めた。その結果の一部、即ち照射野 10×10 cm の場合の Tissue air ratio を、Johns⁴⁾ の計算した X 線 (F S D 50 cm, HVL

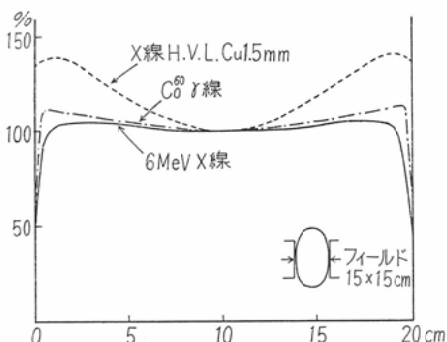
Fig. 7 Tissue air ratio



$\text{Cu } 1 \text{ mm}$) 及び ${}^{60}\text{Co} \gamma$ 線の Tissue air ratio と比較して図 7 に示した。 ${}^{60}\text{Co} \gamma$ 線と 6 MeV X 線は略々平行しており、大略深さと共に指數函数的に減少し、 ${}^{60}\text{Co}$ に比較して稍々高い値を示す。

次に、上述の表面線量及び深部線量の測定結果をもとにして対向 2 門照射の場合の線量分布を見た。照射野 $15 \times 15 \text{ cm}$ として、6 MeV X 線では吾々の測定結果をもとにして、又、X 線 (HVL Cu 1.5 mm) 及び ${}^{60}\text{Co} \gamma$ 線は Johns⁴⁾ のデーターから線量分布を作成すると図 8 の如くなる。但し、出射面の線量は、その深さにおける深部線量をその儘用い、軟部組織と空気層における限界面の補正は行つていない。

Fig. 8 Dose distribution in two opposing fields



図から明らかな如く、6 MeV X 線では体厚 20 cm の場合体表面から 1.5~4 cm の深さで稍々高い線量域があり、その値は腫瘍線量（体の中心に点状にあると仮定する）100に対して 105 であり、深

さ 5 乃至 15 cm の間ではほど均等な線量域を示す。表面線量は腫瘍線量の約 $1/2$ である。一方、 ${}^{60}\text{Co} \gamma$ 線では、最高線量域が 110 と上昇し、均一性にも乏しく、且つ表面線量は約 60 となる。この傾向は深部 X 線では更に増大して、対向二門照射には不適当であることを示している。

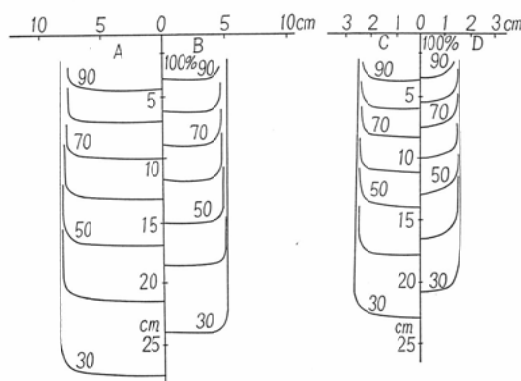
(3) 側方散乱

側方散乱はエネルギーが高い程少い。側方散乱の程度を簡単に知るには、照射野 $5 \times 5 \text{ cm}$ 及び $10 \times 10 \text{ cm}$ 夫々の深さ 10 cm の点における線量比をみれば良い。深部線量は前者で 62.5%，後者で 65.0% で線量比は 1.04 で測方散乱は極めて少い。

(4) 等量曲線

本器では、深さ 10 cm で線量分布が均一になるようなイコライザーを使用しているが、種々の大きさの照射野における等量曲線を作成した。その一部を図 9 に示す。

Fig. 9 Isodose curve



Field size: A $15 \times 15 \text{ cm}$, B $10 \times 10 \text{ cm}$
C $5 \times 5 \text{ cm}$, D $3 \times 3 \text{ cm}$

この等量曲線を見ると、第一に深さ 10 cm 附近では均一な分布を示すが、これより浅い点では中心部が稍々凹となり、深い点では逆に中心部が凸になる曲線である。第二に半影が非常に少ないので辺縁部の切れは鮮鋭であるが、測定に使用した Radcon プローブの径が太いので辺縁が若干丸味を帶びている。

(5) Wedge filter による線量分布

本器には、X 線ヘッド内に Wedge filter を装填することが可能で、この Filter を使用すること

Fig. 10 Isodose curve

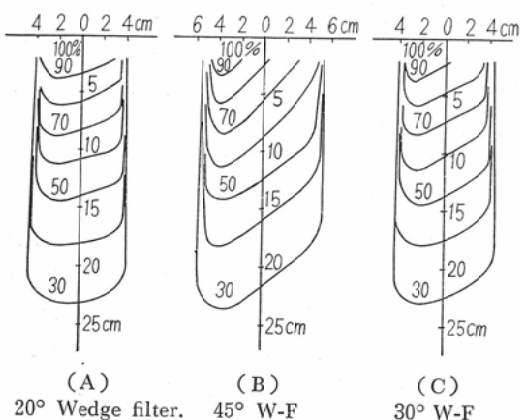


Fig. 11 Dose distribution of maxillary cancer

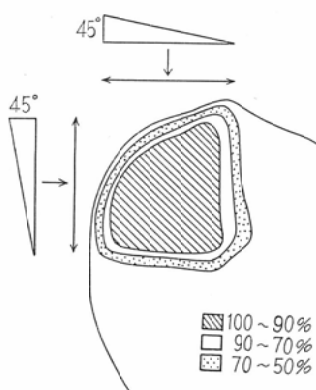
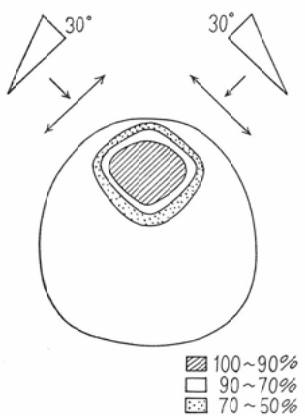


Fig. 12 Dose distribution of larynx cancer



により、直交二門照射或は浅在性病巣の照射に際し可成り均等な線量分布を得ることが可能である。図10には、深さ10cmの点で等量曲線の傾きが

20°, 30°, 45° になるよう予め設計されたWedge filter を装填して画いた等量曲線を示す。目的通りの傾斜が得られている。次に、このWedge filter を実際の臨床例に応用した場合の線量分布の代表として、図11及び図12に、上顎癌及び喉頭癌の各1例を示した。結果は病巣に一致して極めて均等な線量分布が得られている。

考 按

本報告では、当院に設置された直線加速器のX線に就いて、その出力性能と物理学的特性を現地における試験結果並びに線量測定の結果から臨床的に検討することを目的とした。機械的性能に就いては、1号機の工場試験結果は佐野²⁾、高橋ら³⁾が報告し、現地の試験結果は北畠ら⁵⁾の報告にあるように、極めて高性能の装置であり、本3号機でも同様の結果を得ている。

さて、X線出力性能上臨床的に問題となるのは、最大出力線量、発生エネルギー、出力安定度及び線量分布の均一性（平坦度）である。第一に、最大出力線量は大であればある程能率良く治療出来る訳であるが、患者の位置決めなどに要する時間も加味すると、線量率が300R/minを超えて左程時間の短縮にはならない。本器では400R/min以上の出力線量を得たが、日常の使用には200R/minで充分である。第二に、X線発生エネルギーは公称6MeVであるが、電子の水中飛程から測定された値は極めて近い値で、公称6MeVと云つても支障ないように思う。6MeVが超高压X線の至適エネルギーであるかどうかは少し疑問であるが、後述する如く、6MeVでも充分に超高压X線の利点を備えたものと考えている。第三に、出力安定度は当然⁶⁰Co γ線などと比較すると悪くなるが、吾々は少くとも±3%以内の安定度は必要であると思う。試験結果では、日常使用の固定照射で±1.5%以内の高い性能を得ている。しかし、回転照射では最低線の±3%を維持したに過ぎず更に改良が望まれる。第四に、出力安定度と並んで平坦度は特に高い性能が必要である。試験結果では、水深10cmで最も良い平坦度が得られ、その程度は20×20cmの領域で±2.4%であった。この値は臨床的に充分満足

の行く結果であると思う。以上の四点を結論的にみて、X線の出力性能は、仕様書の条件を満足し且つ更に良い性能を示していると云える。しかし、重要なことはこれらの性能に恒常性のあることである。吾々は臨床使用経験2カ月にしかならず、この間の測定では常に満足すべき状態にあるが、今後充分な長期間の観察を続けねばならないと思つている。

次に、6 MeV X線の物理学的特性に就いて述べたい。超高圧X線の特徴は、1. 皮膚線量が多い、2. 側方散乱が多い、3. 骨吸収が多い、4. 病巣全身容積線量比が大などであり、一般に臨床的に使用されている直線加速器のエネルギーは4～8 MeVである。

皮膚線量は照射野 $10 \times 10\text{cm}$, F S D 1 mで22%であり、深部10 cmに病巣がある場合1門照射では病巣線量100に対して皮膚線量は34となる。対向2門照射では、皮膚線量が病巣線量の約 $1/2$ となり、病巣に8,000 R迄は左程皮膚障害なく照射が可能であろう。しかし、この場合皮下1.5～4 cmの領域に高い線量域があつて、若しこの領域に感受性の高い組織のある場合には注意を要する。従来は皮膚障害を治療上最も重視して來たが、今後は血管系、皮下組織などに注目しなければならないだろう。

骨吸収エネルギーは、Meredith⁶⁾によれば6 MeVあたりが最も少いとされ、その意味では適正なエネルギーと云える。

側方散乱は、照射野 $5 \times 5\text{cm}$ と $10 \times 10\text{cm}$ の深部10 cmの線量比が1.04で可成り少いが、更にエネルギーの高い程有利である⁷⁾。同様に、病巣全身容積線量比も6 MeV X線では23～24%で、更にエネルギーが高い程大になる。

以上の四点から考えると、皮膚線量及び骨吸収などの点からは、6 MeV X線が最適な条件を備

えていると考えられ、側方散乱及び病巣全身容積線量比などの点からは更に高エネルギーが要求される。又、臨床の面からはこれらの物理学的特性の他に、装置の使い易さ、安定性、その他の条件が必要となり、必ずしも高いエネルギーのみが必須の条件ではないよう思う。更に、装置の改良が進み、より良い性能の装置の開発が望まれる。

尚、本器からは6 MeV電子線も使用が可能で、これはX線とは違った臨床的な利点を有している。この電子線に就いては稿を改めて報告したいと思う。

結　び

宮城県立成人病センターに設置された三菱重工製医療用直線加速器に就いて、X線の出力性能試験及び線量測定を行つた結果、次の如き結論が得られた。

1. X線の出力性能：最大出力線量は400 R/min以上、発生エネルギーは約6 MeV(実効エネルギー 1.9 MeV)、出力安定度は固定照射200 R/minで±1.5%以内、平坦度は水深10 cmの面で±2.4%以内であつた。

2. X線の特性：表面線量は照射野 $10 \times 10\text{cm}$, F S D 1 mで22%，電子平衡に達する点は15.3 mm、深部線量は大で側方散乱も少い。

3. 上記の測定結果をもとにして、対向2門照射における特徴などを論じた。

4. 等量曲線、Wedge filter 使用時の等量曲線及び臨床例の線量分布などを述べた。

参考文献

- 1) 北畠他：日医放会誌，27：275, 1967.
- 2) 佐野他：三菱重工技報，3：1, 1966.
- 3) 高橋他：M.A.C. 7 (7) : 8, 1966.
- 4) Johns, H.E.: Physics of Radiology, Second Edition, Thomas, Illinois, U.S.A.
- 5) 北畠他：投稿中。（日医放会誌）
- 6) Meredith, W.J.: Am. J. Roent., 79 : 57, 1958.
- 7) Brit, J. Radiol. Suppl, 10, 1961.